

CASPA 2019



Session 2 : Capteurs - Données

# CARTOGRAPHIE ET ÉTALONNAGE DE CAPTEURS CONJOINTS PAR TRAITEMENT DES DONNÉES ISSUES DE CAPTEURS MOBILES

MATTHIEU PUIGT

# Cartographie et étalonnage de capteurs conjoints par traitement des données issues de capteurs mobiles \*

M. Puigt<sup>1</sup> C. Dorffer<sup>1,2,‡</sup> F. Yahaya<sup>1,†</sup> G. Delmaire<sup>1</sup> G. Roussel<sup>1</sup>

<sup>1</sup> Univ. Littoral Côte d'Opale, LISIC – EA 4491, F-62228 Calais Cedex, France

<sup>2</sup> ENSTA-Bretagne, Lab-STICC – UMR 6285, CNRS, F-29806 Brest Cedex 9, France

1–4 avril 2019



\* Travaux financés par la Région Hauts-de-France (projet “chercheurs-citoyens”) et par le CNRS (projet MASTODONS). Les expériences ont été réalisées sur la plateforme de calcul scientifique CALCULCO gérée par le SCOSI de l'ULCO.

† F. Yahaya remercie la Région Hauts-de-France qui finance en partie sa thèse de doctorat.

‡ Dr C. Dorffer remercie le Pôle Métropolitain de la Côte d'Opale qui a financé une partie de sa thèse de doctorat.

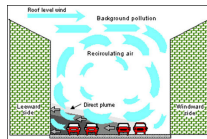
# Context

## The limits of current air quality monitoring

- Increasing human activities ↗ pollution peaks



- Impact on health ↗  $\approx 400.000$  premature deaths per year in EU
- Emission reduction ↗ monitoring (observation & modeling)

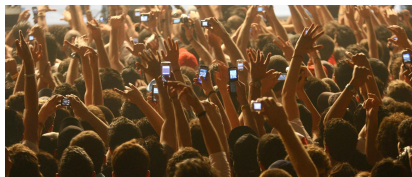


- ↗ Local effects not sensed and hard to model with a sparsely distributed sensor network

### Is it possible to ?

- 1 create a complementary low-cost air quality sensor network
- 2 which offers a finer spatial coverage
- 3 and which involves the public in the sensing procedure

⇒ **Mobile crowdsensing** : a crowd of volunteers to sense geolocated and time-stamped measurements



# OSCAR : *Observation et Sensibilisation Citoyenne à la surveillance de la qualité de l'Air en Région*



- ATMO Hauts-de-France
- BES
- INRIA Spirals
- LISIC

## Objectives

Designing an air quality sensing campaign involving the population to build the sensors and sense air quality using mobile crowdsensing

## Technical issues

- Creating a low-cost air quality sensor (LISIC)
- Learning the population to make the sensors (BES)
- Manage data collection campaign (INRIA) and take into account the ASQAA measurements (ATMO HdF)
- Signal processing to make sense of the collected data (LISIC)

# OSCAR : *Observation et Sensibilisation Citoyenne à la surveillance de la qualité de l'Air en Région*



- ATMO Hauts-de-France
- BES
- INRIA Spirals
- LISIC

## Objectives

Designing an air quality sensing campaign involving the population to build the sensors and sense air quality using mobile crowdsensing

## Technical issues

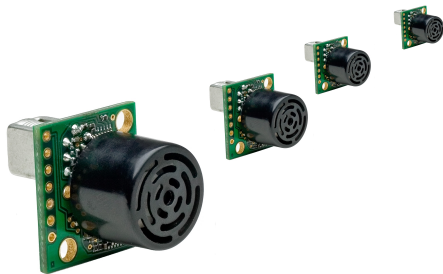
- Creating a low-cost air quality sensor (LISIC)
- Learning the population to make the sensors (BES)
- Manage data collection campaign (INRIA) and take into account the ASQAA measurements (ATMO HdF)
- **Signal processing to make sense of the collected data (LISIC)**

## The why of sensor calibration

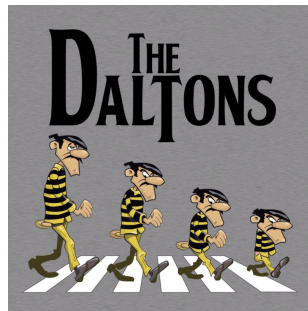


- Observed phenomenon  $\Rightarrow$  voltage
- Voltage  $\Rightarrow$  Physical value ?

## The why of sensor calibration

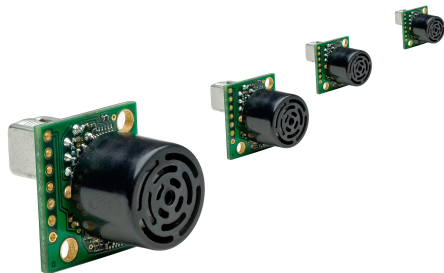


- Observed phenomenon  $\Rightarrow$  voltage
- Voltage  $\Rightarrow$  Physical value ?

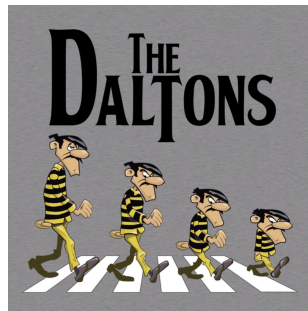




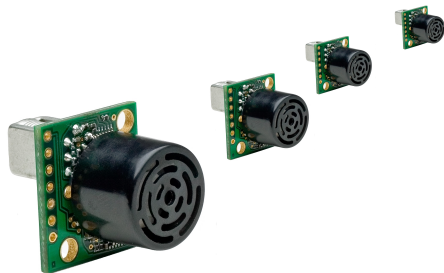
# The why of sensor calibration



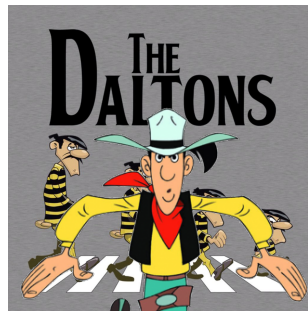
- Observed phenomenon ⇨ voltage
- Voltage ⇨ Physical value ?
  - Sensor calibration cannot be performed in lab
  - ⇨ Data-driven approaches (a.k.a. "blind" or "self" calibration techniques)



# The why of sensor calibration

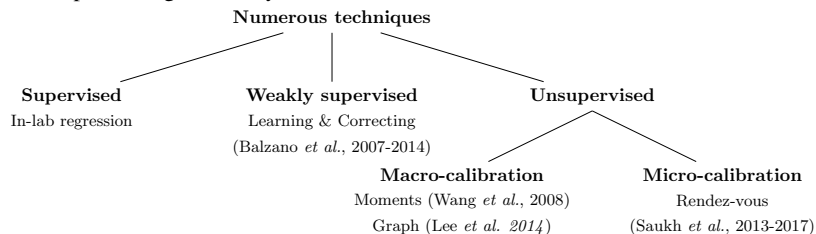


- Observed phenomenon ⇨ voltage
- Voltage ⇨ Physical value ?
  - Sensor calibration cannot be performed in lab
  - ⇨ Data-driven approaches (a.k.a. "blind" or "self" calibration techniques)
  - Presence of reference data (ATMO HdF)



## The how of sensor calibration

A data processing taxonomy :

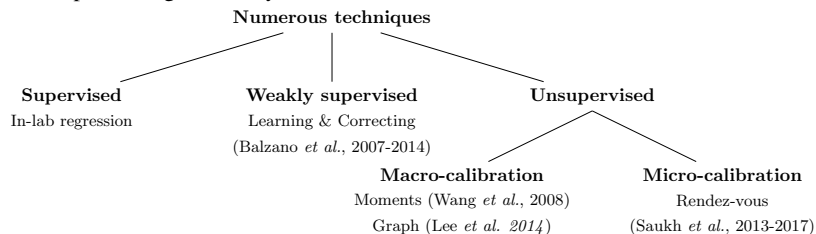


### For *mobile-crowdsensing*

- Graph-based methods (macro-calibration)
- Multi-hop techniques (micro-calibration)
- ⇒ Problem-specific techniques
- ⇒ Not necessarily applicable to OSCAR network
- ⇒ Novel macro-calibration techniques using micro-calibration assumptions

## The how of sensor calibration

A data processing taxonomy :

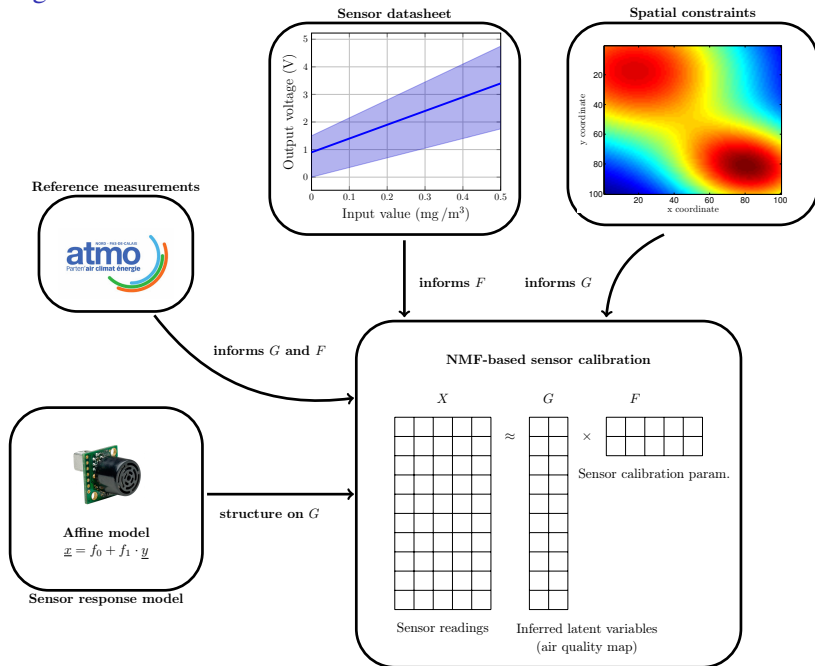


### A must-read paper

B. Maag, Z. Zhou, and L. Thiele : *A Survey on Sensor Calibration in Air Pollution Monitoring Deployments*, In IEEE Internet of Things Journal, to appear,  
<http://doi.org/10.1109/JIOT.2018.2853660>

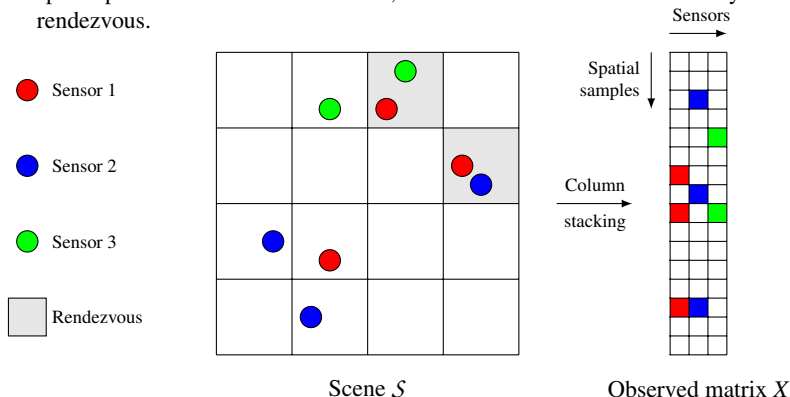
*“Currently, **there is no one-for-all network calibration solution available**. Recent research efforts investigate the **possibility of a general applicable network calibration method**, e.g., by combining different aspects from the three methods. Some theoretical investigations already provide mixtures of different models. For instance, **Dorffer et al. [72]–[74]** combine the two ideas of blind and collaborative network calibration to increase the possibilities for sensor re-calibration.”*

# The Big Picture



## Definitions

- A **rendezvous** is a temporal and spatial vicinity between two sensors (Saukh *et al.*, 2013).
- A **scene**  $\mathcal{S}$  is a discretized area observed during a time interval  $[t, t + \Delta t)$ . A spatial pixel has a size lower than  $\Delta d$ , where  $\Delta t$  and  $\Delta d$  define the vicinity of the rendezvous.



## Assumptions (1)

- Sensor response (calibration function  $\mathcal{F}(\cdot)$  of Sensor  $j$ )

$$\underbrace{x(i,j)}_{\text{sensor-output voltage}} \simeq \mathcal{F}_j(y(i))$$
$$\simeq \underbrace{(y(i))}_{\text{physical phenomenon}} \cdot \underbrace{f_{1,j}}_{\text{unknown gain and offset}} + f_{0,j}$$

- ◇ Matrix form (if **each** of the  $m$  sensor senses **all** the scene)

$$\underbrace{\begin{bmatrix} x(1,1) & \cdots & x(1,m) \\ \vdots & & \vdots \\ x(n,1) & \cdots & x(n,m) \end{bmatrix}}_X \simeq \underbrace{\begin{bmatrix} 1 & y(1) \\ \vdots & \vdots \\ 1 & y(n) \end{bmatrix}}_G \cdot \underbrace{\begin{bmatrix} f_{0,1} & f_{0,2} & \cdots & f_{0,m} \\ f_{1,1} & f_{1,2} & \cdots & f_{1,m} \end{bmatrix}}_F$$

- In practice, irregular sampling :  $W \circ X$  with

$$W(i,j) \triangleq \begin{cases} 0 & \text{if } x(i,j) \text{ is not available,} \\ \rho_j & \text{otherwise,} \end{cases}$$

where  $\rho_j$  is a weight coefficient associated with Sensor  $j$

## Assumptions (2)

- $X$ ,  $G$ , and  $F$  are nonnegative (air quality application)
- A known reference
- ◊  $\forall i = 1, \dots, n, \quad x(i, m) = y(i)$  (i.e.,  $f_{1,m} = 1, f_{0,m} = 0$ )
- ◊ Blind calibration revisited as a weighted nonnegative matrix factorization problem

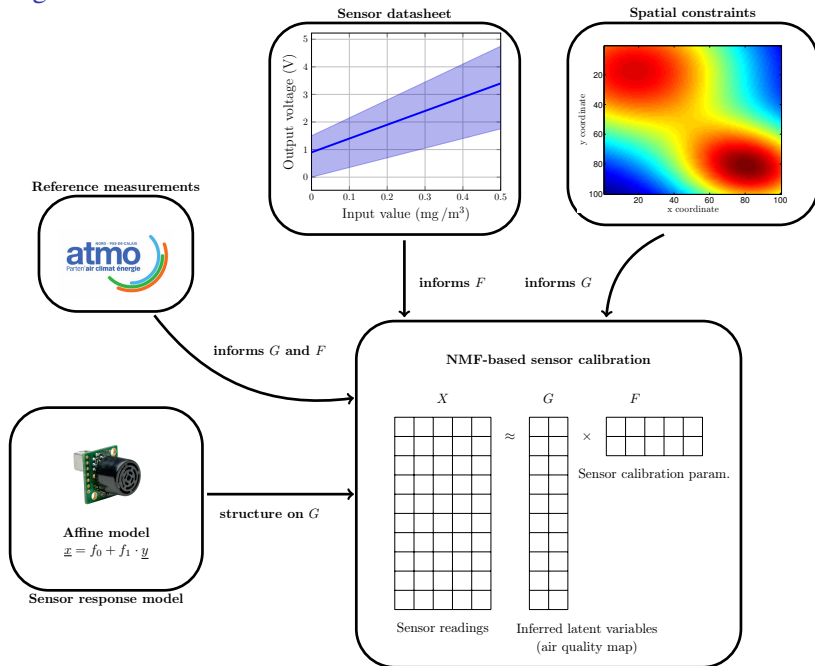
$$W \circ \underbrace{\begin{bmatrix} x(1,1) & \cdots & x(1,m-1) & y(1) \\ x(2,1) & \cdots & x(2,m-1) & y(2) \\ \vdots & & \vdots & \vdots \\ x(n,1) & \cdots & x(n,m-1) & y(n) \end{bmatrix}}_X \simeq W \circ \left( \underbrace{\begin{bmatrix} 1 & y(1) \\ 1 & y(2) \\ \vdots & \vdots \\ 1 & y(n) \end{bmatrix}}_G \cdot \underbrace{\begin{bmatrix} f_{0,1} & f_{0,2} & \cdots & f_{0,m-1} & 0 \\ f_{1,1} & f_{1,2} & \cdots & f_{1,m-1} & 1 \end{bmatrix}}_F \right)$$

### IN-Cal (Informed NMF-based Calibration)

- 1 Start with initial matrices  $F^0$  and  $G^0$
- 2 Look for the “best”  $F$
- 3 Look for the “best”  $G$
- 4 Go back to step 2.



# The Big Picture



## Ajout de contraintes spatiales

$$W \circ X = \begin{bmatrix} x_{1,1} & - & - & - \\ - & x_{2,2} & x_{2,3} & - \\ x_{3,1} & - & x_{3,3} & - \\ x_{4,1} & x_{4,2} & - & - \end{bmatrix}$$

- ambiguïté d'échelle
- ◊ étalonnage relatif
- ◊ normalisation (ACIN-Cal)

## Ajout de contraintes spatiales

$$\text{Si } W \circ X = \begin{bmatrix} x_{1,1} & - & - \\ x_{2,1} & - & - \\ - & - & y_3 \\ - & - & y_4 \\ - & x_{5,2} & - \\ - & x_{6,2} & - \end{bmatrix}$$

⇒ pas d'étalonnage relatif...

## Ajout de contraintes spatiales

$$\text{Si } W \circ X = \begin{bmatrix} x_{1,1} & - & \tilde{y}_1 \\ x_{2,1} & - & \tilde{y}_2 \\ - & - & y_3 \\ - & - & y_4 \\ - & x_{5,2} & \tilde{y}_5 \\ - & x_{6,2} & \tilde{y}_6 \end{bmatrix}$$

### Vers des rendez-vous virtuels

- Rajouter un a priori spatial sur le phénomène physique
- Lier les mesures par **rendez-vous virtuel**

### Interpolation de $\mathbf{y}$

- *a priori* de parcimonie :  $\mathbf{y} \approx \tilde{\mathbf{y}} = \mathcal{D} \cdot \mathbf{a}$
- régression :  $\mathbf{y} \approx \tilde{\mathbf{y}} = \mathcal{Y}(\boldsymbol{\theta}, \mathbf{p})$
- calage de fonctions :  $\mathbf{y} \approx \tilde{\mathbf{y}} = \sum_j c_j \cdot \Phi_j(\mathbf{p})$
- modèle physique :  $\mathbf{y} \approx \tilde{\mathbf{y}} = \mathcal{Y}(\mathbf{p}, \text{vent, traffic, ...})$
- modèle géostatistique :  $y_i \approx \tilde{y}_i = \sum_{j \neq i} \omega_{ij} \cdot y_j$

## Ajout de contraintes spatiales

$$\text{Si } W \circ X = \begin{bmatrix} x_{1,1} & - & \tilde{y}_1 \\ x_{2,1} & - & \tilde{y}_2 \\ - & - & y_3 \\ - & - & y_4 \\ - & x_{5,2} & \tilde{y}_5 \\ - & x_{6,2} & \tilde{y}_6 \end{bmatrix}$$

### Vers des rendez-vous virtuels

- Rajouter un a priori spatial sur le phénomène physique
- Lier les mesures par **rendez-vous virtuel**

### Interpolation de $\mathbf{y}$

- *a priori* de parcimonie :  $\mathbf{y} \approx \tilde{\mathbf{y}} = \mathcal{D} \cdot \mathbf{a}$
- régression :  $\mathbf{y} \approx \tilde{\mathbf{y}} = \mathcal{Y}(\boldsymbol{\theta}, \mathbf{p})$
- calage de fonctions :  $\mathbf{y} \approx \tilde{\mathbf{y}} = \sum_j c_j \cdot \Phi_j(\mathbf{p})$
- modèle physique :  $\mathbf{y} \approx \tilde{\mathbf{y}} = \mathcal{Y}(\mathbf{p}, \text{vent, traffic, ...})$
- modèle géostatistique :  $y_i \approx \tilde{y}_i = \sum_{j \neq i} \omega_{ij} \cdot y_j$

## Hypothèses (H1)

- |  |   |
|--|---|
| <ul style="list-style-type: none"><li>• <math>\mathbf{y}</math> admet une décomposition parcimonieuse suivant <math>\mathcal{D} \in \mathbb{R}^{m,l}</math></li><li>⇨ <math>\exists \mathbf{a} \in \mathbb{R}^l</math> parcimonieux, tel que <math>\mathbf{y} \approx \tilde{\mathbf{y}} = \mathcal{D} \cdot \mathbf{a}</math></li></ul> | <ul style="list-style-type: none"><li>• <math>\mathbf{y}</math> admet une approximation polynômiale</li><li>⇨ <math>\exists \boldsymbol{\theta} \in \mathbb{R}^N</math> tel que <math>\mathbf{y} \approx \tilde{\mathbf{y}} = \mathcal{Y}(\boldsymbol{\theta}, \mathbf{p})</math></li></ul> |
|--|---|

## Nouveau problème d'optimisation

$$\begin{aligned} \arg \min_{\hat{G}, \hat{F} \geq 0, \tilde{\mathbf{y}}} & \quad \|W \circ (X - G \cdot F)\|_f^2 + \lambda \cdot \|g_2 - \tilde{\mathbf{y}}\|_f^2 \\ \text{s.c.} & \quad G = \Omega_G \circ \Phi_G + \bar{\Omega}_G \circ \Delta_G \\ & \quad F = \Omega_F \circ \Phi_F + \bar{\Omega}_F \circ \Delta_F \\ & \quad \tilde{\mathbf{y}} \text{ vérifie (H1)} \end{aligned}$$

- Non-convexe par rapport à  $G$ ,  $F$  et  $\mathbf{y}$
- ⇨ stratégie de mises à jour alternées
  - 1 MàJ de  $F$  (comme IN-Cal)
  - 2 Estimation de  $\tilde{\mathbf{y}}$
  - 3 MàJ de  $G$

## Estimation de $\mathbf{y}$

$$\begin{aligned}\tilde{\mathbf{y}} &= \arg \min_{\tilde{\mathbf{y}}} \|\mathbf{g}_2 - \tilde{\mathbf{y}}\|_f^2 \\ \text{s.c. } \tilde{\mathbf{y}} &= \mathcal{D} \cdot \mathbf{a} \\ \mathbf{a} &\text{ parcimonieux}\end{aligned}$$

⇒  $\mathbf{a}$  = meilleure décomposition parcimonieuse de  $\mathbf{g}_2$  (**SpIN-Cal**)

$$\begin{aligned}\tilde{\mathbf{y}} &= \arg \min_{\tilde{\mathbf{y}}} \|\mathbf{g}_2 - \tilde{\mathbf{y}}\|_f^2 \\ \text{s.c. } \tilde{\mathbf{y}} &\approx \mathcal{Y}(\boldsymbol{\theta}, \mathbf{p})\end{aligned}$$

⇒  $\tilde{\mathbf{y}}$  = meilleure approximation polynomiale de  $\mathbf{g}_2$  (**PolIN-Cal**)

## KIN-Cal (Kriging-based extension of IN-Cal)

We also proposed in C. Dorffer's PhD thesis a spatial constraint based on Kriging :

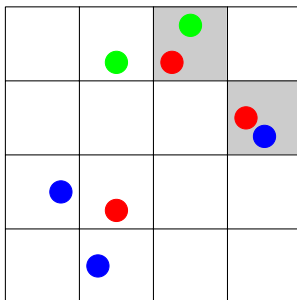
- Not exactly following the above procedure
  - ⇒ Kriging is independently applied on each sensor to create virtual rendez-vous
  - ⇒ Update of the factor matrices are then derived as in IN-Cal
- More flexibility than PolIN-Cal and SpIN-Cal (no parameters to tune or dictionary to estimate)
- Privacy-preserving strategy

## Discussion (1)

### Apport des contraintes spatiales

- Connexion des capteurs avec le dictionnaire ou le modèle
  - ↳ Plus besoin de "rendez-vous exacts" (au sens de la littérature)
- ⇒ Réduction de la discrétisation spatiale possible (rendez-vous *virtuels*)
- Mais discrétisation temporelle toujours nécessaire

- Capteur mobile 1
- Capteur mobile 2
- Capteur mobile 3
- Rendez-vous



Scène  $\mathcal{S}$

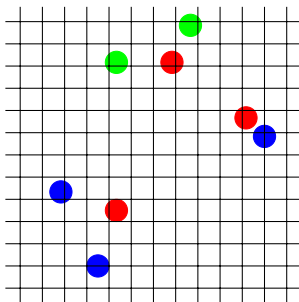


## Discussion (1)

### Apport des contraintes spatiales

- Connexion des capteurs avec le dictionnaire ou le modèle
  - ↳ Plus besoin de "rendez-vous exacts" (au sens de la littérature)
- ⇒ Réduction de la discrétisation spatiale possible (rendez-vous *virtuels*)
- Mais discrétisation temporelle toujours nécessaire

- Capteur mobile 1
- Capteur mobile 2
- Capteur mobile 3



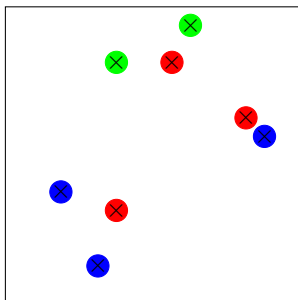
Scène  $\mathcal{S}$

## Discussion (1)

### Apport des contraintes spatiales

- Connexion des capteurs avec le dictionnaire ou le modèle
  - ↳ Plus besoin de "rendez-vous exacts" (au sens de la littérature)
- ⇒ Réduction de la discrétisation spatiale possible (rendez-vous *virtuels*)
- Mais discrétisation temporelle toujours nécessaire

- Capteur mobile 1
- Capteur mobile 2
- Capteur mobile 3



Scène  $\mathcal{S}$

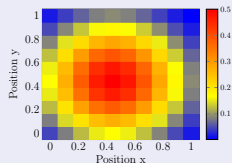
## Le réseau

- Simulation de 25 capteurs de PM aux paramètres obtenus par tirages aléatoires

$$+ \begin{bmatrix} 0 \\ 1 \end{bmatrix} \Rightarrow F_{theo} \in \mathbb{R}^{2 \times 26}$$

## La scène

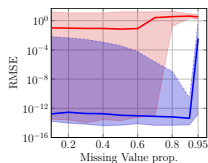
- Scène =  $10 \times 10$  ( $m = 100$ )  $\Rightarrow G_{theo} \in \mathbb{R}^{100 \times 2}$
- Dictionnaire de 62 atomes **décorrélés** t.q.  $y$   
2-parcimonieux



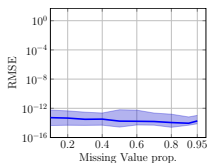
## Les paramètres de simulation

- 4 références
- prop. données manquantes ( $\rho_{DM}$ ) :  $10\% \leq \rho_{DM} \leq 95\%$
- prop. rendez-vous ( $\rho_{RV}$ ) :  $0\% \leq \rho_{RV} \leq 100\%$
- bruit d'entrée :  $20 \text{ dB} \leq \text{SNR} \leq \infty \text{ dB}$

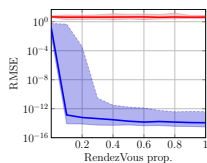
# Performances IN-Cal et SpIN-Cal



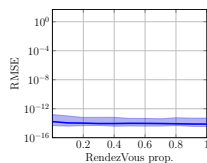
(a) IN-Cal



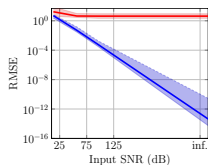
(b) SpIN-Cal



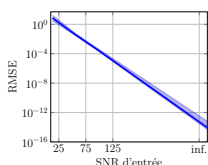
(c) IN-Cal



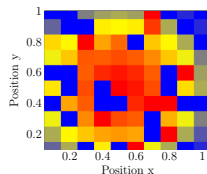
(d) SpIN-Cal



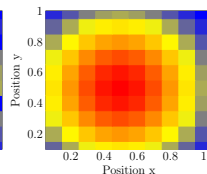
(e) IN-Cal



(f) SpIN-Cal



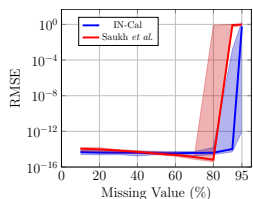
(g) IN-Cal



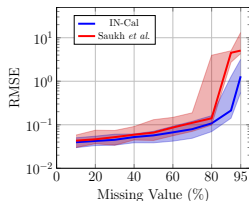
(h) SpIN-Cal

# Performances IN-Cal et SpIN-Cal

- Comparison with multi-hop technique (Saukh *et al.* 2014)
  - ◊ calibration is sequentially performed
  - ◊ at least two rendez-vous between calibrated and uncalibrated sensors
- ◊ We compute the product between  $G^{\text{theo}}$  and  $F^{\text{theo}}$  to generate  $X^{\text{theo}}$  and we randomly remove data



(i) SNR= $\infty$ dB

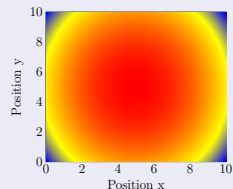


(j) SNR $\approx$  30dB

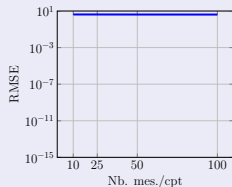
# Simulation des données (2)

## Nouvelle simulation

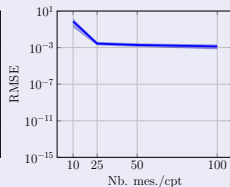
- Scène continue
- ◊ Discrétisation à faire avec IN-Cal (rendez-vous)
- ◊ Dictionnaire avec discrétisation plus fine
- Paramètres de tests : nb. mesures par capteur



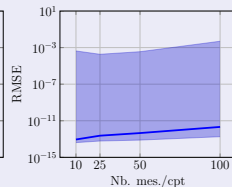
## Résultats



(k) IN-Cal



(l) SpIN-Cal



(m) PolIN-Cal

## Conclusion

- Blind mobile sensor calibration revisited as informed matrix factorization
  - Specific constraints due to the problem (parameterization, sparse priors, known average calibration parameters)
- Proposed approaches robust to the number of missing entries and of rendezvous (no spatial discretization is required with the sparse approximation)
- We also proposed methods for nonlinear calibration models

## Current and future work

- ✓ Faster-than-fast NMF techniques
- ✓ ↗ Replacing the dictionary by a model
- ↗ Multi-scene processing
- ↗ Case of cross-sensitive sensors

## To get more information

### 1 Informed NMF for sensor calibration :

- C. Dorffer, M. Puigt, G. Delmaire, G. Roussel, *Informed Nonnegative Matrix Factorization Methods for Mobile Sensor Network Calibration*, IEEE Transactions on Signal and Information Processing over Networks, Volume 4, Issue 4, pp. 667-682, December 2018.
- C. Dorffer, *Méthodes informées de factorisation matricielle pour l'étalonnage de réseaux de capteurs mobiles et la cartographie de champs de pollution*, Ph.D. thesis, Dec. 2017.

### 2 NMF for big data (to be applied to mobile crowdsensing) :

- C. Dorffer, M. Puigt, G. Delmaire, G. Roussel, *Fast nonnegative matrix factorization and completion using Nesterov iterations*, in Proceedings of the 13th International Conference on Latent Variable Analysis and Signal Separation (LVA/ICA 2017), Springer International Publishing AG, vol. LNCS 10179, pp. 26-35, Grenoble, France, February 21-24, 2017.
- F. Yahaya, M. Puigt, G. Delmaire, G. Roussel, *Faster-than-fast NMF using random projections and Nesterov iterations*, in Proceedings of iTWIST : international Traveling Workshop on Interactions between low-complexity data models and Sensing Techniques, Marseille, France, November 21-23, 2018.

### Give them a try

Matlab codes available at : [https://gogs.univ-littoral.fr/puigt/Informed\\_NMF\\_Mobile\\_Sensor\\_Calibration](https://gogs.univ-littoral.fr/puigt/Informed_NMF_Mobile_Sensor_Calibration)